

تحلیل نرم‌افزاری کاهش نویز الکترومغناطیسی درایو موتور BLDC سرعت بالا

توحید رحیمی^{۱*}، همایون مشگین کلک^۲، علی شیرزادی^۳

۱- کارشناس ارشد، دانشکده مهندسی برق و اویونیک، دانشگاه صنعتی مالک اشتر ۲- استادیار، دانشکده مهندسی برق، دانشگاه تفرش

۳- مربی، دانشکده مهندسی برق و اویونیک، دانشگاه صنعتی مالک اشتر

(تاریخ دریافت: ۹۳/۰۴/۱۳، تاریخ پذیرش: ۹۳/۱۰/۲۱)

چکیده: به دلیل تزریق جریان نشتی به صفحه زمین و مولفه‌های فرکانس بالا به لینک DC در سیستم درایو موتور BLDC سرعت بالا و احتمال ایجاد تداخل در عملکرد سایر تجهیزات، ارائه روش مناسب جهت غلبه بر تداخل الکترومغناطیسی تولیدی ضروری به نظر می‌رسد. در این مقاله، مدل فرکانس بالای موتور با چند راه کار جدید به کمک تحلیل المان محدود به کار رفته در نرم‌افزار MAXWELL استخراج شده است. مدل فرکانس بالای کلید قدرت نیز به کمک مدل‌های ساده معرفی شده در مراجع مختلف و داده‌های برگه اطلاعات کلید مورد نظر به دست آمده است. در نهایت، روش پیشنهادی نیز جهت کاهش نویز بر اساس طیف فرکانسی جریان خط DC و جریان نشتی از موتور به شبکه زمین به کمک فیلترگذاری و مدار اسنابر پیشنهادی انجام گرفته است. روش پیشنهادی به خوبی توانسته است مقدار بیشینه جریان نشتی را به طور موثر کاهش دهد و مولفه‌های فرکانس بالای جریان لینک DC را به طور قابل توجه تضعیف نماید.

واژه‌های کلیدی: جریان نشتی، BLDC، تداخل الکترومغناطیسی، نرم‌افزار MAXWELL، فیلترگذاری.

۱- مقدمه

اطمینان سیستم خواهد شد. رشد چشمگیر تکنولوژی ادوات نیمه هادی قدرت سبب شده است که فرکانس کلیدزنی مدولاسیون پهنای پالس (PWM) افزایش یابد بنابراین کلیدهای IGBT و MOSFET با سرعت کلیدزنی بالا وارد عرصه الکترونیک قدرت و صنعت شده‌اند. این افزایش سرعت کلیدزنی سبب شده که ولتاژ، جریان مبدل‌ها و درایوهای الکتریکی کنترل پذیری بهتری داشته باشند و از طرفی امکان افزایش سرعت چرخش موتورهای الکتریکی از قبیل موتور BLDC فراهم شده است. ولی افزایش فرکانس کلیدزنی سبب به وجود آمدن ولتاژ مد مشترک با بالا می‌گردد که به نوبه خود عامل ایجاد جریان نشتی و پدیده ولتاژ شفت موتور می‌گردد [۱]. از طرفی کلیدها با سرعت کلیدزنی بالا زمان خیزش و

در کاربردهایی مانند هوافضا و اتومبیل‌سازی به دلیل محدودیت فضای قابل اشغال و مسائل اقتصادی نیاز به تجهیزات با وزن و حجم کم مشهود است. در این میان موتورهای BLDC به دلیل مزایایی از قبیل نسبت گشتاور به وزن بالا، توانایی رسیدن به سرعت‌های بالا مورد توجه قرار گرفته‌اند. به دلیل عدم نیاز به هیچ‌گونه جاروبک مکانیکی یا حلقه‌های لغزان در این گونه موتورها نویز صوتی ایجاد شده، نسبت به دیگر موتورها کم می‌باشد. به دلیل نبود جاروبک و یا حلقه لغزان، طول عمر موتور فقط وابسته به طول عمر عایقی بلبرینگ‌ها و عمر مغناطیسی می‌باشد که سبب افزایش قابلیت

عملی و نوین شبیه‌سازی شده از مدل فرکانس بالای استخراج شده، در نظر نگرفتن تغییرات اندوکتانس حتی در مقیاس کوچک است. در صورتی که موتور از نوع آهن‌ریا درونی باشد، اندوکتانس‌های موتور دارای تغییرات متناوب ولی با شکل موج پیچیده هستند. امکان مدل‌سازی اندوکتانس متغیر موتور با پروفایل تغییرات پیچیده نیز به خوبی انجام نخواهد گرفت. در این مقاله جهت اجتناب از مدل‌سازی اندوکتانس متغیر و اعمال تاثیر تغییرات اندوکتانس به صورت واقعی، بین Circuit Editor و نرم‌افزار MAXWELL ارتباط برقرار شده است.

با داشتن مدل فرکانس بالای سیستم مورد مطالعه، گام بعدی پیاده‌سازی روش‌های کاهش نویز است. تحقیقات زیادی روی کاهش نویز الکترومغناطیسی و جلوگیری از جریان ناشی به خصوص برای موتورهای مورد استفاده در صنایع با بهره‌گیری از فیلترهای پسیو و اکتیو متمرکز شده‌اند [۲۲-۱۶] برای پیاده‌سازی روش‌های ساده جهت غلبه بر نویز الکترومغناطیسی، فیلترهای پسیو با حجم بزرگ و وزن بالا جز جدایی‌ناپذیر از سیستم درایو خواهد بود. مراجع [۲۴-۲۳]. روندی را برای طراحی فیلتر DC جهت غلبه بر نویز ارائه داده‌اند.

مشابه با روند طراحی فیلتر برای سمت DC، روندی برای طراحی فیلتر AC در سمت AC در مرجع [۲۵] ارائه شده است. مقالات ذکر شده روش‌های پیشنهادی را براساس مفاهیم ساده انتشار نویز بر روی نمونه‌های آزمایشگاهی یا مدل فرکانس بالای به‌دست آمده از آزمایشات عملی مورد بررسی قرار داده‌اند. در [۲۶]، عملکرد و اندازه فیلتر پسیو EMI با توجه به نوع ماده هسته اندوکتانس موجود در ساختار فیلتر بحث شده است. در [۲۷]، یک نوع فیلتر اکتیو مد مشترک جدید برای درایوهای موتور تغذیه شده با ولتاژ DC پیشنهاد شده است. ولی فیلترهای اکتیو عموماً به منبع تغذیه جدا نیاز دارند.

ایجاد سطح ولتاژ جدا عموماً با دشواری روبرو است. در [۲۸]، به مقایسه تداخل الکترومغناطیسی در سیستم موتور درایو در دو حالت استفاده از Si IGBT و Sic JFET پرداخته‌است. در واقع نویز تولیدی در دو نوع کلید با تکنولوژی ساخت جدید مقایسه شده است. در این مقاله، مدل فرکانس بالای موتور به کمک تحلیل المان محدود و با استفاده از نرم‌افزار MAXWELL استخراج شده است.

نزول به مراتب کمتری نسبت به کلیدهای متداول دارند که این موضوع به نوبه‌ی خود سبب افزایش سطح نویز تولیدی می‌شود [۲].

جهت مطالعه نویز، ضروری است تا مسیرهای پارازیتی نشت جریان نویزی شناسایی شود. پژوهش‌های بسیاری برای استخراج مدل فرکانس بالای سیستم موتور- درایو جهت بررسی پدیده‌ی نویز الکترومغناطیسی از قبیل طیف نویز و انتشار نویز هدایتی انجام گرفته است [۷-۳]. در [۸] به کمک مدار معادل عناصر درایو که در فرکانس بالا به دست می‌آید، طیف نویز EMI هدایتی در کاربرد درایو ولتاژ پایین جریان بالا به کمک شبیه‌سازی و اندازه‌گیری نشان داده شده است. طیف نویز شبیه‌سازی شده به کمک مدار معادل فرکانس بالای عناصر درایو، با نویز اندازه‌گیری در مدار عملی تا ۱۰MHz تفاوت اندکی دارد ولی وجود برخی پیک‌ها همچنان در شبیه‌سازی قابل رویت نیست. در [۹] مدار معادل‌های حجیم مدل فرکانس بالای اینورتر و سیستم سیم‌پیچ استاتور معرفی شده‌است. در [۱۰] مدل IGBT بر مبنای ساختار فیزیکی‌اش که توسط Hefner جهت به‌دست آوردن شکل موج‌های دقیق کلیدزنی به همراه di/dt و dv/dt ایجاد شده در لحظات کلیدزنی، انتخاب شده است. در [۱۱] مدل فرکانس بالای به‌دست آمده از تحلیل المان محدود در نرم‌افزار Matlab-Simulink پیاده‌سازی شده است. در [۱۲]، مدل فرکانس بالای موتور با استفاده از تحلیل حالت گذرا و مگنتودینامیک موجود در تحلیل المان محدود، استخراج شده است تا نویز ناشی از اضافه ولتاژ در ترمینال موتور و جریان ناشی را بررسی کند. این مرجع نیز مدل به‌دست‌آمده را صرفاً در نرم‌افزار Matlab-Simulink پیاده‌سازی کرده است و در نهایت نیز مدل به‌دست آمده را با استفاده از تطبیق حالت‌های گذرا صحت‌گذاری کرده است.

این روش صحت‌گذاری نمی‌تواند تاییدی بر صحت کامل مدل فرکانس بالای استخراج شده باشد. در مدل‌های یاد شده، مقادیر اندوکتانس‌های معادل اندوکتانس موتور، ثابت فرض شده‌اند. البته این فرض برای موتورهای آهن‌ریا دایم رتور بیرونی تا حدودی قابل قبول است. ولی در عمل، اندوکتانس‌های موتورهای آهن‌ریا دایم رتور بیرونی دارای نوسانات متناوب کوچکی هستند که در تولید نویز موثر هستند که این مساله در [۱۵-۱۳] نیز اصلاً در نظر گرفته نشده است. یکی از علت‌های وجود اختلاف بین نویز اندازه‌گیری شده از نتایج

جدول ۱: مشخصات نامی موتور

متغیر	مقدار	واحد
مقاومت فاز موتور	۲۳۳,۳۷۳۰	mΩ
اندوکتانس فاز موتور	۱۱۹,۴۷۵۱	μH
اندوکتانس ناشی انتهایی سیم‌پیچی	۸۹,۴۱۵۹	μH
ضریب ثابت ولتاژ برگشتی	۰,۱۵۶	V.s/rad
ضریب ثابت گشتاور	۰,۱۵۴	Nm/A
ولتاژ نامی	۱۸	V

در این جا هدف بررسی جریان ناشی از موتور است. با توجه به این هدف مناسب است که تغییرات اندوکتانس هم اعمال شود. در صورتی که در Circuit Editor نرم‌افزار MAXWELL، از سیم‌پیچ به جای اندوکتانس استفاده شود، این تغییرات خیلی کم هم اعمال می‌شود. مشخصات موتور به‌طور خلاصه در جدول (۱) آورده شده است.

۳- استخراج مدل فرکانس بالا

روش استخراج مدل فرکانس بالا به کمک نرم‌افزار MAXWELL و فرآیندی که در ادامه بیش تر تشریح خواهد شد در [۳۰]، ارائه شده است. در موتور مورد مطالعه، هر فاز شامل ۳ کلاف و ۶ شیار است. اگر ۶ شیار برای هر فاز را تفکیک شود چنان‌چه در شکل (۱-الف) مشاهده می‌شود.

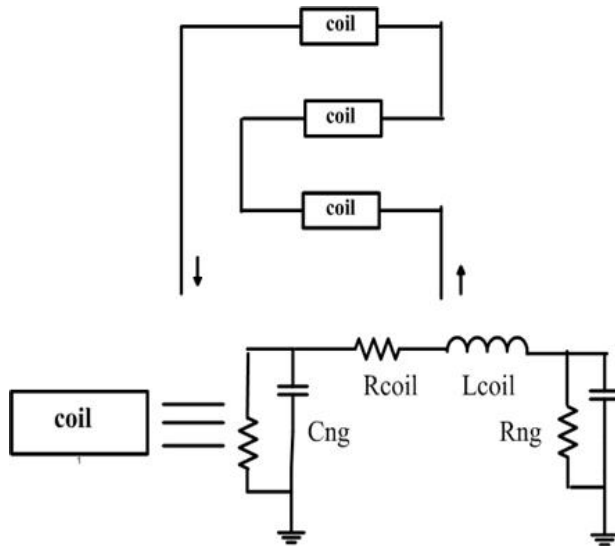
هر کلاف با سطح استاتور دارای خاصیت خازنی پارازیتی است. این خاصیت در کل سطح شیار با استاتور وجود دارد. عموماً این خاصیت خازنی به‌صورت دو خازن در ابتدا و انتهای کلاف مدل‌سازی می‌شود [۳۱]. به‌عبارت بهتر، خازن معادل بین استاتور و شیار محاسبه شده و به دو خازن تقسیم می‌شود. در کنار خاصیت خازنی، خاصیت هدایتی نیز وجود دارد. خاصیت هدایتی به‌صورت

دو تحلیل Eddy Current و AC Conduction جهت استخراج اندوکتانس و مقاومت و خازن‌های خودی و متقابل به‌کار گرفته شده است. چند راه کار جدید جهت تحلیل و کاهش نویز انجام گرفته است.

راه کار اول پیاده‌سازی مدل فرکانس بالا در Circuit Editor و تحلیل نرم‌افزاری نویز در کنار کارکرد درایو است به‌طوری که هر مدل فرکانس بالای استخراجی از هر روش آزمایشگاهی یا تحلیلی با توجه به روش کوپل Circuit Editor و نرم‌افزار MAXWELL قابل پیاده‌سازی است. بحث بر روی تقسیم هر فاز به چند شیار یا چند کلاف جهت سهولت در استخراج مدل فرکانس بالا و امکان شبیه‌سازی کارکرد عادی سیستم موتور درایو با در نظر گرفتن مدل فرکانس بالا راه کار جدید دیگر مقاله است. مدل فرکانس بالای کلید قدرت نیز به کمک مدل‌های ساده‌ای معرفی شده در مراجع مختلف و اطلاعات برگه‌ی اطلاعات کلید مورد نظر به‌دست آمده است. مهم‌ترین بخش عنصر پارازیتی کلید که بر سطح نویز تاثیر غالب دارد، خازن بین درین و سورس کلید قدرت است [۲۹]. جهت کاهش سطح نویز، جریان ناشی جاری شده از موتور به سیستم زمین و طیف فرکانسی جریان لینک DC مورد مطالعه قرار گرفته است. در نهایت بر اساس فرآیند پیشنهادی، فیلتر و اسنابر مطلوب جای‌گذاری شده است.

۲- مشخصات موتور و درایو

در این مقاله موتور مورد مطالعه، یک موتور BLDC سرعت بالا با توان ۳۳ W و سرعت در زیر بار نامی برابر ۱۰۰۰۰ دور بر دقیقه است. این موتور با هدف استفاده در ژيروسکوپ در محیط نرم‌افزار MAXWELL طراحی شده است. به‌دلیل این‌که موتور مورد مطالعه، از نوع آهن‌ریا بیرونی است، تغییرات اندوکتانس خودی و متقابل فازهای موتور، دارای تغییرات خیلی اندکی خواهد بود. در صورتی‌که هدف از مدل‌سازی موتور، بررسی انواع روش کنترلی باشد، می‌توان مقدار ثابتی برای اندوکتانس فرض کرد. در جدول (۱) مقدار متوسط اندوکتانس فاز متوسط به‌کار گرفته شده است. بار این موتور بار ثابتی است و از همان ابتدای راه‌اندازی روی موتور قرار دارد.



شکل ۲: مدار معادل فرکانس بالای موتور با تفکیک سه کلاف از هم برای یک فاز

بالای سیستم موتور به صورت آن چه که در شکل (۲) است، استخراج می‌شود. هر فاز شامل سه کوئل می‌باشد. هر کوئل دارای مقاومت و اندوکتانس معادل است. سطح هر کوئل دارای خاصیت خازنی و رسانایی با سطح موتور است. این خاصیت خازنی به صورت دو خازن و دو مقاومت در ابتدا و انتهای هر کوئل مدل شده است.

۳-۱- تحلیل Eddy Current

در این تحلیل این امکان وجود دارد که جریان‌های متغیر با زمان به هادی‌ها تخصیص داده شود. با تخصیص جریان‌های متغیر با زمان به هادی‌ها، اندوکتانس و مقاومت خودی و نشتی قابل استخراج خواهد بود که نتیجه به صورت ماتریس امپدانس و اندوکتانس نمایش داده می‌شود. در واقع این ماتریس، رابطه بین جریان‌ها و ولتاژهای القا شده را نشان می‌دهد. شکل (۳)، مدار معادل دو حلقه‌ی مجاور کنار همدیگر را نشان می‌دهد. این مدار با جریان سینوسی با فرکانس ω تحریک شده‌است. رابطه بین جریان‌ها و ولتاژ القایی با ماتریس امپدانس تعیین می‌شود.

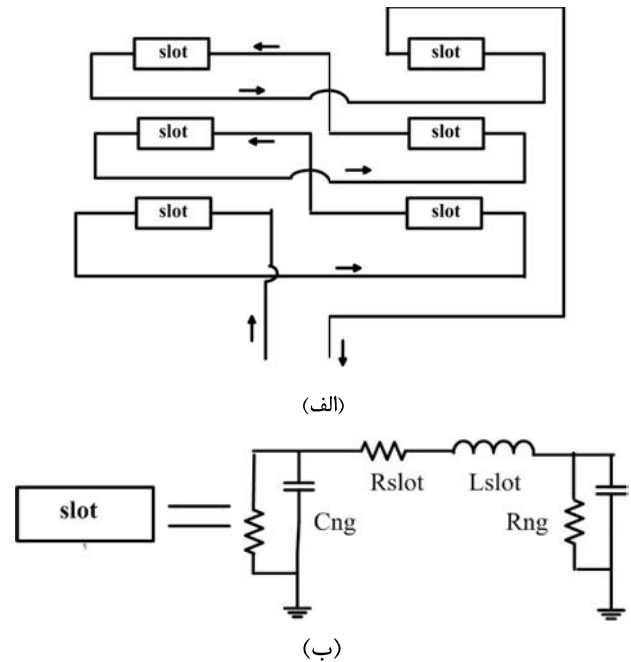
$$\Delta V_1 = I_1 R_{11} + I_2 R_{12} + I_1 j \omega L_{11} + I_2 j \omega L_{12} \quad (1)$$

$$\Delta V_2 = I_2 R_{22} + I_1 R_{12} + I_2 j \omega L_{22} + I_1 j \omega L_{12} \quad (2)$$

$$\begin{bmatrix} \Delta V_1 \\ \Delta V_2 \end{bmatrix} = \begin{bmatrix} Z_{11} & Z_{12} \\ Z_{21} & Z_{22} \end{bmatrix} \begin{bmatrix} I_1 \\ I_2 \end{bmatrix} \quad (3)$$

$$Z_{11} = R_{11} + j \omega L_{11}$$

$$Z_{12} = R_{12} + j \omega L_{12}$$



شکل ۱: (الف) مدار معادل حجیم موتور با تفکیک شش شیار از هم (ب) مدل فرکانس بالای یک شیار

مقاومت‌هایی با مقادیر اهمی بسیار بالا نسبت به پارامترهای خود موتور مدل‌سازی می‌شود. در این جا به دلیل وجود فاصله هوایی میزان رسانایی در مقابل خاصیت خازنی صرف‌نظر می‌شود. مقاومت و اندوکتانس سیم‌پیچ هر شیار به دلیل تقارن سیم‌پیچی و استفاده از هادی یکسان در تمامی شیارها ۶/۱ مقاومت و اندوکتانس کل است. با توجه به مفاهیم گفته شده، سیم‌پیچ هر شیار همانند آن چه در شکل (۱-ب) دیده می‌شود، قابل مدل‌سازی است.

جهت بررسی کارکرد موتور و ارزیابی فیلترهای طراحی شده از تحلیل حالت گذرا استفاده می‌شود. در این میان، تفکیک ۶ شیار از هم‌دیگر، مستلزم این است که در Circuit Editor نرم‌افزار ماکسول، شش سیم‌پیچ مجزا برای هر فاز تعریف شود و در پی آن بایستی موتور به شکل کامل در تحلیل حالت‌گذرا اجرا شود.

اجرای حالت کامل به جای حالت یک چهارم یا نصف، در تحلیل حالت گذرا علاوه بر افزایش زمان شبیه‌سازی، نیازمند تنظیمات بیش‌تر در نرم‌افزار بوده تا از نتایج شبیه‌سازی اطمینان حاصل شود. تحلیل گذرا در حالت نصف موتور، با دشواری خاصی روبرو نیست لذا تحلیل‌های انجام گرفته برای کلاف‌ها اجرا شده است (هر دو شیار یک کلاف را تشکیل می‌دهند). با توجه به این موضوع مدل فرکانس

مقدار ادمیتانس به‌دست آمده بر حسب متر داده می‌شود لذا لازم است تا ادمیتانس واقعی از ضرب ادمیتانس خروجی تحلیل AC Conduction در طول موتور بر حسب متر به‌دست آید.

نتایج حاصل از این تحلیل برای رسانایی خودی و متقابل بر حسب زمینس بر متر و برای خازن خودی و متقابل بر حسب پیکوفاراد بر متر به‌صورت جدول قابل نمایش هستند. لذا برای به‌دست آوردن مقادیر حقیقی بایستی، نتایج در طول موتور که 0.219 m یا 21.9 mm ضرب شود. مقدار خازن‌های متقابل هم خیلی کوچکتر از مقدار خازن‌های خودی هستند. مقادیر رسانش هم در بازه‌ی صد نانو زمینس است. خازن متقابل بین کلاف‌ها و رسانایی نشتی بین کلاف‌ها خیلی کوچک هستند، لذا از آن‌ها صرف نظر شده‌است و روی خازن خودی محاسبه‌شده، تمرکز می‌شود.

خازن خودی موتور برابر است با:

$$321.5 \text{ (pf / m)} \times 0.0219 \text{ (m)} = 7.04085 \text{ pf} \quad (5)$$

جهت مدل‌سازی خازن برای هر کلاف، خازن به‌دست آمده، به دو قسمت تقسیم شده و در ابتدا و انتهای هر کلاف یک خازن با مقدار 3.52 pf قرار داده می‌شود.

۳-۳- تحلیل حالت گذرا

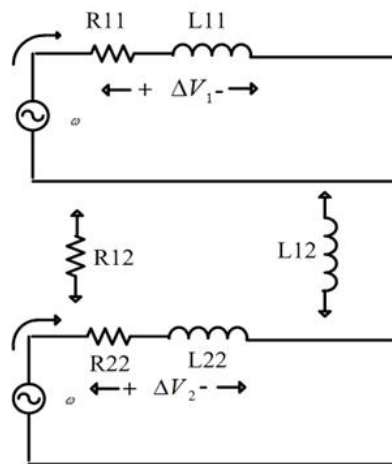
در این تحلیل بایستی به منابع تحریک که کلاف‌ها هستند، ولتاژ و جریان با دامنه و فاز مناسب اعمال کرد. در ضمن می‌توان کلاف‌ها را با مدار خارجی تحریک نمود. در این تحقیق از تحلیل حالت گذرا برای محاسبه اندوکتانس‌های خودی و متقابل بین فازها استفاده شده‌است. در ضمن این تحلیل برای بررسی کارایی فیلترگذاری در مدار درایو نیز استفاده شده است. درایو موتور BLDC مورد مطالعه در Circuit editor پیاده‌سازی می‌شود. فیلترگذاری نیز در همین مدار خارجی انجام می‌گیرد.

چنانچه در اشکال (۴) و (۵) دیده می‌شود، اندوکتانس خودی و متقابل فازها دارای تغییرات متناوب هستند. پروفایل تغییرات اندوکتانس به راحتی قابل تقریب سازی با ترکیبی از موج‌های متناوب شناخته شده (سینوسی و مثلثی ..) نیست. فرض بر ثابت بودن اندوکتانس خودی و متقابل جهت مدل‌سازی موتور برای

V_i و I_i فازور ولتاژ و جریان هستند.

$$Z_{21} = Z_{12}$$

$$Z_{22} = R_{22} + j\omega L_{22}$$



شکل ۳: امپدانس خودی و متقابل بین دو هادی

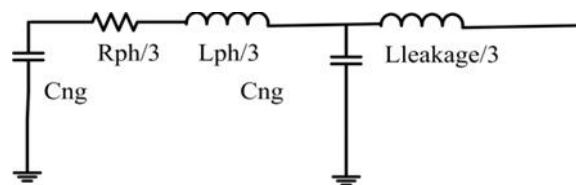
با انجام این تحلیل، دیده شد که می‌توان اندوکتانس و مقاومت هر کلاف را برابر $\frac{1}{3}$ اندوکتانس و مقاومت هر فاز به حساب آورد. البته با توجه به اهمیت تغییرات پارامترهای موتور در مطالعه‌ی نویز می‌بایستی، تاثیر تغییرات کوچک اندوکتانس موتور هم اعمال شود. در این مقاله هر کلاف هر فاز به صورت کوپل یا با Circuit Editor تحریک می‌شود که خود به خود تاثیر تغییرات اندوکتانس‌ها در مطالعه‌ی نویز اعمال می‌شود.

۳-۲- تحلیل Ac Conduction

این تحلیل میدان الکتریکی حالت دائم دو بعدی در اثر اعمال پتانسیل (ولتاژ) به آن‌ها را به‌دست می‌آورد. از این تحلیل جهت بررسی توزیع جریان، توزیع میدان الکتریکی، اختلاف پتانسیل، ادمیتانس و انرژی ذخیره‌شده استفاده می‌شود. برای مثال، در این تحلیل هر کلاف با ولتاژ سینوسی با دامنه مشخص تحریک می‌شود. در این تحلیل خازن‌های خودی کلاف‌ها، خازن متقابل شیارها و مقاومت‌های نشتی بین کلاف‌ها و خودی شیارها، قابل محاسبه است. ادمیتانس به‌عنوان عکس امپدانس به‌صورت رابطه (۴) تعریف می‌شود.

$$Y = G + j\omega C \quad (4)$$

در رابطه (۴)، ω معادل $2\pi f$ است که F فرکانس منبع ولتاژ است.



شکل ۶: مدار معادل فرکانس بالای یک کلاف

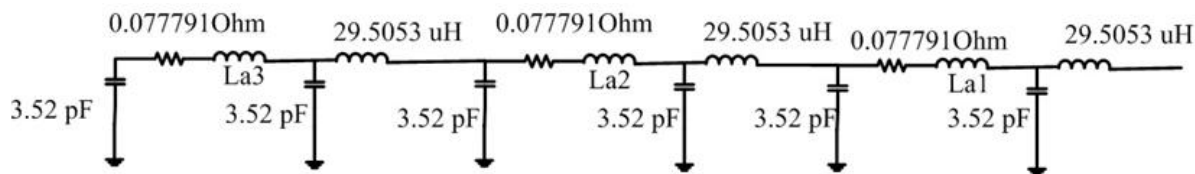
جدول ۳: مقادیر عناصر مدل فرکانس بالا

متغیر	مقدار	واحد
Cng	۳,۵۲	pF
Lph	۱۱۹,۴۷۵	μH
Rph	۰,۲۳۳۳۷۳	Ω
Lleakage	۸۹,۴۱۵۹	μH

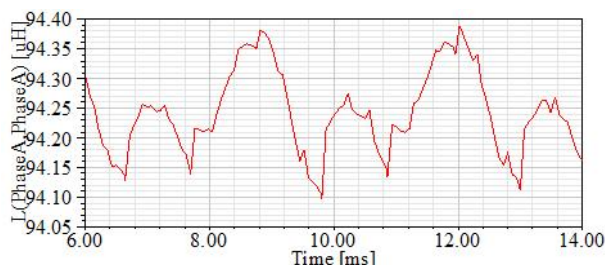
سه کلاف مربوط به آن فاز به صورت سری قابل حصول است. در شکل (۷)، مدل فرکانس بالای هر فاز موتور نشان داده شده است.

در صورتی که از تغییرات اندوکتانس خودی و متقابل صرف نظر شود، مقادیر عناصر مدل دیده شده در شکل (۶)، در جدول (۳) آورده شده است.

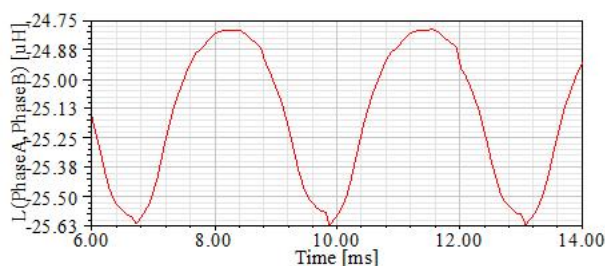
سیم پیچ هایی که با نام های La1، La2 و La3 در شکل (۱۰) دیده می شوند، ارتباط Circuit editor با نرم افزار MAXWELL را فراهم می کنند. ولتاژ BACK-EMF و اندوکتانس های متغیر با زمان، به وسیله سیم پیچ های یاد شده بروز می کنند.



شکل ۷: مدل فرکانس بالای یک فاز



شکل ۴: اندوکتانس خودی فاز A



شکل ۵: اندوکتانس متقابل فاز A, B

جدول ۲: تغییرات اندوکتانس خودی و متقابل (برحسب μH)

	اندوکتانس خودی	اندوکتانس متقابل
مقدار ماکزیمم	۹۴,۳۸	-۲۴,۸
مقدار مینیمم	۹۴,۱	-۲۵,۶۳

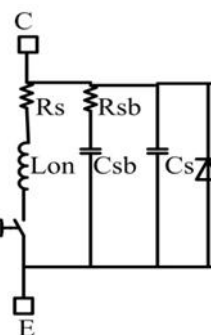
کاربردهای بررسی روش های کنترلی، فرض مناسبی خواهد بود ولی تغییرات اندک اندوکتانس بر جریان های نشتی تاثیر گذار خواهد بود.

۳-۴- مدار نهایی یک فاز موتور

با در نظر گرفتن توضیحات داده شده، هر کلاف به ترتیب با یک مقاومت، سلف و دو خازن زمین شده و یک اندوکتانس نشتی معادل می شود (شکل (۶)). برای هر فاز سه کلاف با هم دیگر، سری می شود به این ترتیب مدل فرکانس بالای هر فاز موتور از اتصال

۳-۵- مدل‌سازی کلید قدرت

برای مدل‌سازی کلید قدرت، روش‌های مختلفی وجود دارد. این روش‌ها با توجه به پژوهش‌های صورت گرفته برپایه آزمایشگاهی روی کلید انتخابی و استفاده از تجهیزات پیشرفته استوار هستند. ولی می‌توان به کمک برگه اطلاعات کلید و مدل‌های ساده معرفی شده در مراجع مختلف، مدل مناسب برای کلید قدرت جای‌گذاری کرد تا اثرات پارازیتی کلید قدرت هم در نتایج شبیه‌سازی نمود پیدا کند. این مدل در شکل (۸) دیده می‌شود [۲۵].



شکل ۸: مدل فرکانس بالای کلید

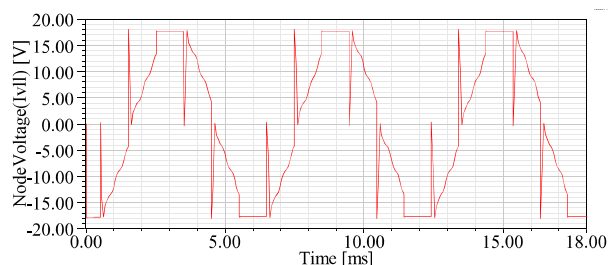
Rs مقاومت هدایتی کلید، Lon اندوکتانس پارازیتی کلید که می‌تواند با توجه به ثابت زمانی خیزش جریان کلید به دست آید. Cs خازن پیوندی کلید است که به کمک برگه اطلاعات کلید قابل حصول است. Rsb و Csb هم به ترتیب مقاومت و خازن اسنابر می‌باشد.

مهم‌ترین معیار در انتخاب کلید قدرت، جریان نامی هدایتی و ولتاژ معکوس قابل تحمل برای کلید است. با توجه به این که جریان موتور ۲٫۱۳ A و ولتاژ موتور ۱۸ V است، کلیدی باید انتخاب شود که این جریان و ولتاژ را تحمل کند از طرفی، طراحی موتور با این پیش‌فرض که افتی در مدار درایو رخ نمی‌دهد، انجام شده است و لذا بعد از وصل کلید واقعی، افت ولتاژ روی کلید قدرت سبب افت ولتاژ در ترمینال‌های موتور و به تبع آن گشتاور در سرعت ثابت یا سرعت در گشتاور ثابت افت می‌کند. برای کاهش اثر افت ولتاژ، بایستی از کلیدهایی با مقاومت هدایتی کمتر استفاده گردد لذا MOSFET با نام FD56574A انتخاب شده است که ولتاژ معکوس ۲۰ V، مقاومت

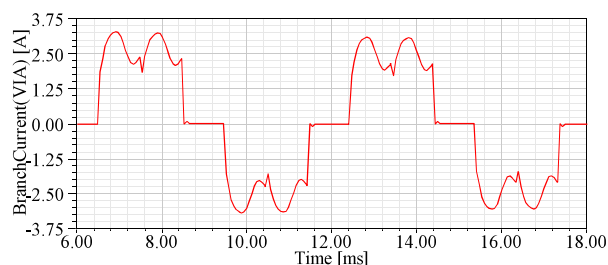
هدایتی ۶ mΩ دارد. مقدار خازن پارازیتی از برگه‌ی اطلاعات کلید برابر ۶۵۷ pF و مقدار اندوکتانس ۴۳٫۲ pH است.

۴- روش پیشنهادی جهت کاهش نویز

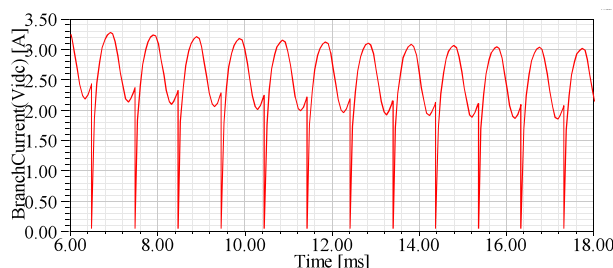
ابتدا، سیستم موتور- درایو بدون استفاده از فیلتر شبیه‌سازی شده است. هدف نشان دادن سطح اولیه‌ی نویز هدایتی از خط DC مشترک و دامنه‌ی جریان ناشی از فاز موتور به زمین است. سطح



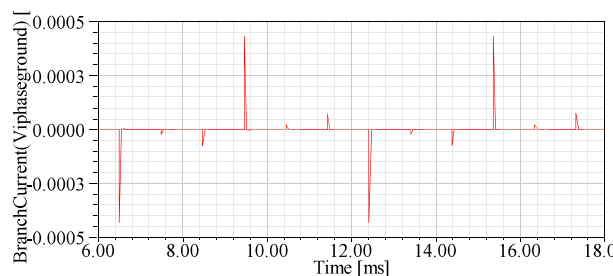
شکل ۹: شکل موج ولتاژ خط بدون حضور فیلتر



شکل ۱۰: جریان فاز موتور بدون حضور فیلتر



شکل ۱۱: جریان لینک DC بدون حضور فیلتر



شکل ۱۲: جریان ناشی از یک فاز به زمین بدون حضور فیلتر

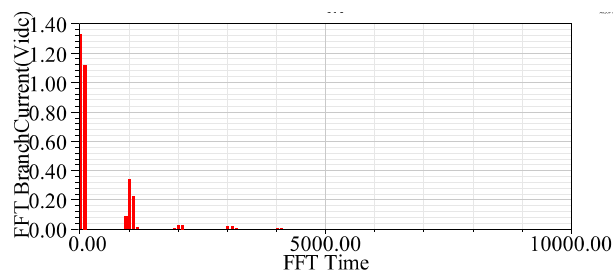
$$\frac{1}{2\pi\sqrt{LC}} = 2000 \quad (9)$$

$$C = 100\mu F, L = 64\mu H \quad (10)$$

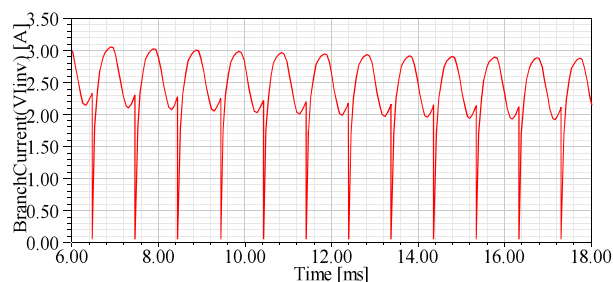
$$f_c = \frac{1}{2\pi\sqrt{64\mu H * 100\mu F}} = 1989.43Hz \quad (11)$$

از آن جایی که موتور سرعت بالا و توان پایین است، هر گونه افت ولتاژ یا تلفات در فیلتر یا کلید قدرت، سبب افت سرعت خواهد شد. مثلاً ۲۰۰ rpm افت سرعت برای موتور مورد نظر یعنی کاهش توان خروجی به اندازه‌ی ۰.۶۶ W است. این یعنی نسبت کاهش توان خروجی به کاهش سرعت عدد بالایی است. در ضمن سلفی که انتخاب می‌شود، دارای مقاومت داخلی است. سلف با مقدار ۶۴۰ μH که توانایی تحمل جریان درایو را داشته باشد، دارای مقاومت نسبی بالایی است. لذا از سلف SN203-640M-5.0AV که دارای اندوکتانس ۶۴ μH با مقاومت داخلی ۲۳ mΩ است، استفاده شده است. در این صورت فیلتر L-C به کمک رابطه (۹) تا (۱۱) طراحی می‌شود.

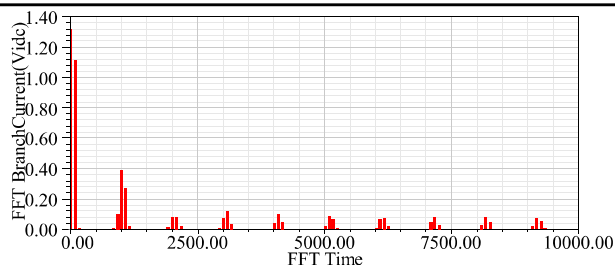
به دلیل این که موتور دارای ولتاژ کاری پایین است، حجم و وزن خازن، افزایش غیرقابل قبولی نخواهد داشت. با استفاده از فیلتر L-C، شکل موج ولتاژ خط به خط ترمینال‌های موتور، جریان فاز موتور و جریان نشستی از موتور به زمین تغییر نخواهد کرد. مولفه‌های فرکانس بالای جریان لینک DC تضعیف می‌شوند که در شکل (۱۴) نمایش داده شده است. در این حالت جریان ورودی به اینورتر هم‌چنان دارای تغییرات بالایی خواهد بود (شکل (۱۵)).



شکل ۱۴: بسط فوری‌ی جریان لینک DC در حضور فیلتر L-C



شکل ۱۵: جریان ورودی اینورتر در حضور فیلتر L-C (بر حسب آمپر)



شکل ۱۳: بسط فوری‌ی جریان لینک DC بدون حضور فیلتر

بالای جریان نشستی، وجود جهش‌های ناگهانی در شکل موج ولتاژ ترمینال موتور و تغییرات شدید جریان لینک DC ضرورت استفاده از فیلتر را نشان می‌دهد. در اشکال (۹) تا (۱۳)، شکل موج ولتاژ ترمینال موتور، شکل موج جریان فاز موتور، جریان لینک DC، جریان نشستی از فاز موتور به زمین و بسط فوری جریان لینک DC به ترتیب نشان داده شده است.

لازم به ذکر است که در تمامی اشکال، محور عمودی شکل موج‌های ولتاژ، برحسب ولت و شکل موج‌های جریان برحسب آمپر می‌باشد. چنان چه در شکل (۹) دیده می‌شود، تغییرات شدید در ولتاژ خط ظاهر شده است که با توجه به مفاهیم گفته شده در مقدمه، عامل تحریک عناصر پارازیتی موتور و جاری شدن جریان نویز الکترومغناطیسی از سیم‌پیچ‌های موتور به بدنه‌ی موتور و زمین است.

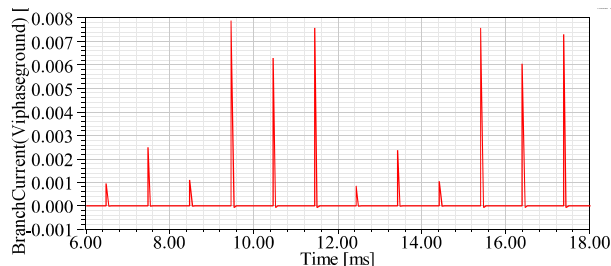
با استفاده از فیلتر L-C می‌توان مولفه‌های فرکانس بالای جریان کشیده از منبع DC را کاهش داد. از طرفی بهتر است که جریان کشیده شده از منبع را به جریان مستقیم نزدیک کرد لذا فیلتر L-C برای فیلتر کردن مولفه‌ها با فرکانس دو کیلو هرتز بالاتر طراحی شده است. طراحی فیلتر L-C به کمک روابط (۶) تا (۸) انجام می‌شود.

$$\frac{1}{2\pi\sqrt{LC}} = 2000 \quad (6)$$

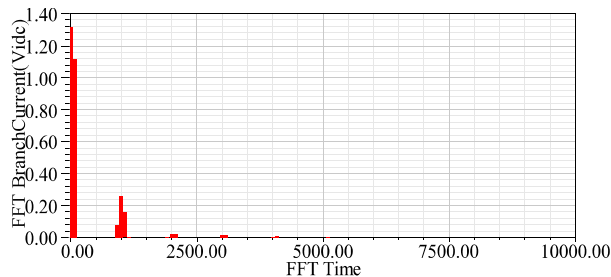
$$C = 10\mu F, L = 640\mu H \quad (7)$$

$$f_c = \frac{1}{2\pi\sqrt{640\mu H * 10\mu F}} = 1989.43Hz \quad (8)$$

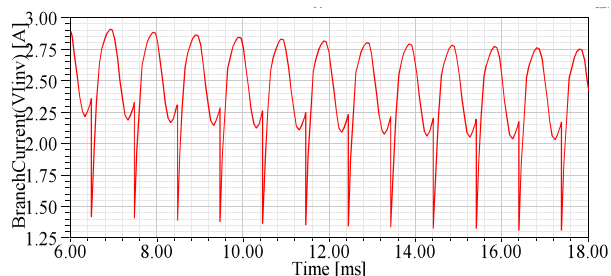
از آن جایی که در نقطه‌ی رزونانس فیلتر L-C تابع تبدیل دارای پیک برآمدگی است، لذا تضعیف مولفه‌های فرکانس بالا، در فرکانس بالاتر از فرکانس قطع فیلتر L-C انجام می‌شود. در نتایج هم تضعیف بعد فرکانس ۲۰۰۰ Hz مشهود خواهد بود. در فیلتر L-C به میزانی که بتوان اندوکتانس سری را بزرگ قرار داد، تغییرات ریپل جریان کشیده شده از منبع کمتر خواهد بود. در حالت عملی، سلف خود دارای مقاومت سری است که اگر اندازه اندوکتانس سلف بزرگ انتخاب شود در نتیجه آن مقاومت سلف هم بالا می‌رود و افت ولتاژ رخ خواهد داد.



شکل ۱۷: شکل موج جریان نشتی فاز موتور در حضور فیلتر (برحسب آمپر)



شکل ۱۸: بسط فوریه جریان لینک DC در حضور فیلتر LCL



شکل ۱۹: جریان ورودی اینورتر در حضور فیلتر LCL

در واقع با اضافه کردن بانک خازنی، هنگام قطع جریان فاز موتور، جریان اندوکتانس از طریق بانک خازنی بسته می‌شود و تغییرات شدید ولتاژ در اثر عکس‌العمل اندوکتانس در برابر تغییرات جریان کاهش پیدا کرده یا از بین می‌رود.

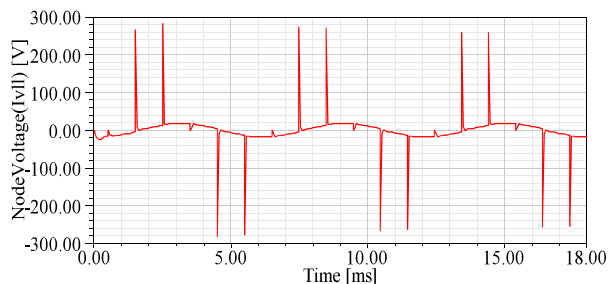
مقدار خازن بانک‌های خازنی بایستی به‌گونه‌ای باشد که در فرکانس کاری موتور، تداخلی در عملکرد موتور ایجاد نکند (یعنی این که در فرکانس کاری موتور امپدانس بانک خازنی بسیار بزرگ‌تر از امپدانس موتور داشته باشد) و فرکانس رزونانس ناشی از وجود بانک خازنی با موتور، بایستی به اندازه کافی از فرکانس کلیدزنی دور باشد تا در اثر رزونانس، جریان زیادی توسط موتور و بانک خازنی کشیده نشود. مدار معادل سیستم موتور-بانک خازنی در هر لحظه در شکل (۲۵) دیده می‌شود. فازی که با خازن سری شده است، فازی است که قطع شده و تنها پل ارتباطی‌اش با سایر فازها خازن سری است. بایستی مقدار خازن به‌گونه‌ای باشد که امپدانس آن برای شاخه وسطی تا چندین مضرب هارمونیک موتور خیلی بزرگ باشد تا جریان نکشد و از طرفی امپدانس شاخه موازی متشکل از دو خازن سری به

جهت کاهش ریپل جریان ورودی اینورتر از سلف سری استفاده می‌شود. مقدار اندوکتانس سری باید به‌گونه‌ای انتخاب شود که ریپل جریان ورودی اینورتر را به‌کاهد و از افت موثر ناشی از مقاومت ذاتی سلف جلوگیری کند. جهت کاهش ریپل جریان ورودی اینورتر، از اندوکتانس $140 \mu\text{H}$ با مقاومت $24 \text{ m}\Omega$ و جریان نامی 6 A (SN229-141M-6.0AH) استفاده کرد. اگر هدف کاهش بیشتر ریپل جریان ورودی باشد، می‌توان از سلف با اندوکتانس $25 \mu\text{H}$ با مقاومت $8 \text{ m}\Omega$ و جریان نامی 15 A (SN203-250M-15.0AV) در کنار سلف $140 \mu\text{H}$ استفاده کرد. البته هزینه سلف سری در این حالت بالا می‌رود. در این جا اندوکتانس معادل $165 \mu\text{H}$ با مقاومت $32 \text{ m}\Omega$ انتخاب شده است. در این حالت ریپل جریان ورودی از 2.5 A به 0.7 A کاهش پیدا کرده است.

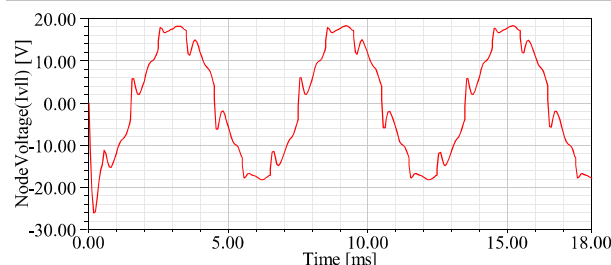
بهبود کمی در طیف فرکانسی جریان کشیده‌شده از منبع ایجاد شده است. البته افزایش اندوکتانس سری با ورودی اینورتر می‌تواند ریپل جریان ورودی را به‌شدت کاهش دهد ولی با افزایش اندوکتانس سلف، مقاومت هدایتی سلف بالا می‌رود و افت ولتاژ روی کلید افزایش پیدا خواهد کرد. شکل موج ولتاژ خط به خط ترمینال موتور، جریان نشتی از فاز موتور، بسط فوریه جریان لینک DC و جریان ورودی اینورتر به‌ترتیب در اشکال (۱۶ - ۱۹) دیده می‌شود.

سلف سری با ورودی اینورتر قابلیت اطمینان سیستم درایو را هم بالا می‌برد، چرا که اتصال کوتاهی در کلیدها، با جریان هجومی بالایی همراه نخواهد شد و آسیب به باس dc مشترک که انواع سیستم الکترونیکی و الکتریکی از آن تغذیه می‌شوند، کمتر خواهد شد.

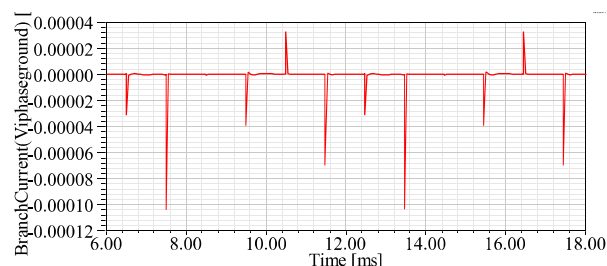
در حضور فیلتر LCL، به‌دلیل وجود اندوکتانس معادل با اندازه بالا، جهش‌های شکل موج ولتاژ خط افزایش چشمگیری داشته است که در نتیجه آن جریان نشتی به زمین، افزایش پیدا کرده است. (مقایسه شکل (۱۷) و (۱۲)). لازم است بانک خازنی با ترمینال‌های موتور موازی شود تا جهش‌ها را از شکل موج ولتاژ خط حذف کند.



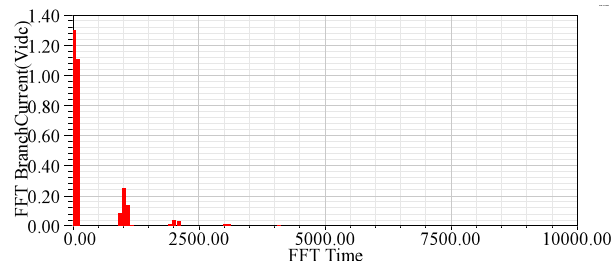
شکل ۱۶: شکل موج ولتاژ خط در حضور فیلتر LCL (برحسب ولت)



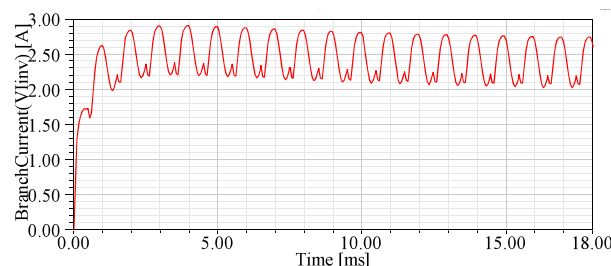
شکل ۲۱: ولتاژ خط به خط موتور در حضور فیلتر LCL و بانک خازنی



شکل ۲۲: جریان نشتی از فاز موتور در حضور فیلتر LCL و بانک خازنی



شکل ۲۳: طیف فرکانسی جریان لینک DC در حضور فیلتر LCL و بانک خازنی

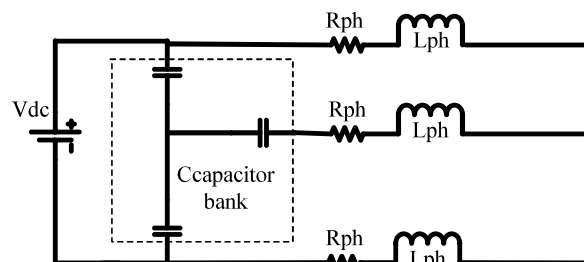


شکل ۲۴: جریان ورودی اینورتر در حضور فیلتر LCL و بانک خازنی

موج ولتاژ خط کاملاً مشهود است. به دنبال کاهش دامنه جهش‌های ولتاژی از شکل موج ولتاژ خط، جریان نشتی از موتور به زمین کاهش چشمگیری پیدا خواهد کرد که در شکل (۲۲) دیده می‌شود.

دامنه بیشینه مقدار جریان نشتی از $400 \mu A$ در حالت بدون فیلتر به $80 \mu A$ کاهش پیدا کرده است. مولفه‌های فرکانس بالای جریان کشیده شده از منبع DC نیز وجود ندارد و این یعنی نویز در باس DC مشترک وارد نمی‌شود. وجود سلف سری با اینورتر، ریبیل جریان ورودی اینورتر را در وضعیت مناسبی حفظ کرده است که در شکل (۲۹) دیده می‌شود. شکل موج جریان سه فاز موتور در شکل (۲۵) دیده می‌شود که از حالت مربعی فاصله زیادی نگرفته است.

اندازه کافی بزرگ باشد تا جریان موثری در فرکانس کاری موتور نکشد. از طرفی بایستی فرکانس رزونانس فازهای متصل و دو خازن سری به اندازه کافی از هارمونیک اصلی موتور به دور باشد تا در اثر رزونانس جریان زیادی کشیده نشود.



شکل ۲۰: مدار معادل سیستم موتور - بانک خازنی در هر لحظه

برای این که از شاخه موازی جریان موثری کشیده نشود، بایستی امپدانس شاخه موازی به اندازه کافی از امپدانس دو فاز متصل موتور به اندازه کافی بزرگ باشد.

$$\frac{1}{0.5 * \pi * 166.67 * C} > 20 \sqrt{(233373^2) + (166.67 * 2\pi * 119 * 10^{-6})^2} \quad (12)$$

$$C < 160 \mu F \quad (13)$$

از طرفی فرکانس رزونانس خازن‌ها با موتور به اندازه کافی از فرکانس کاری موتور دور باشد.

$$10 * 166.667 < \frac{1}{2\pi * \sqrt{(2 * 119 * 10^{-6}) * 5C}} \quad (14)$$

$$C < 76.6264 \mu F \quad (15)$$

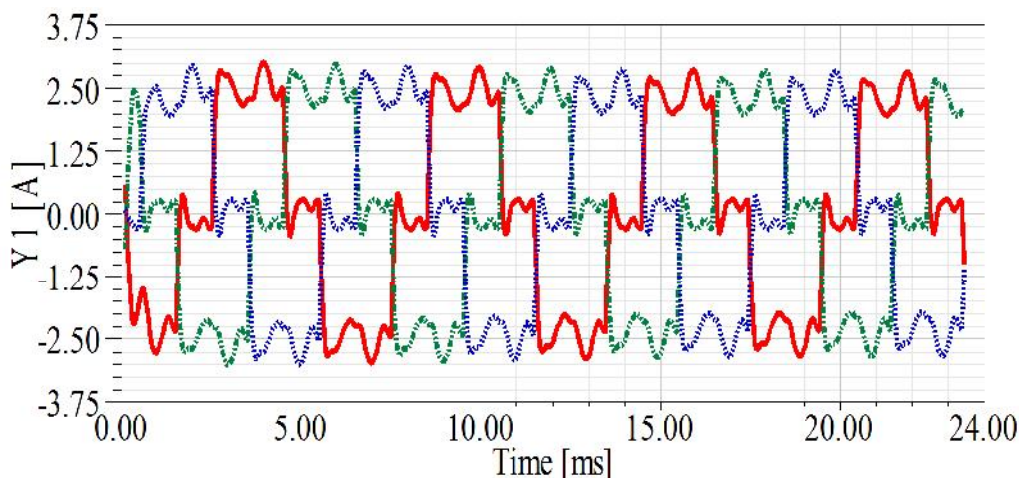
فرکانس رزونانس مسیر سری با بانک خازنی هم بایستی به اندازه کافی دور از هارمونیک اصلی اینورتر باشد.

$$10 * 166.667 < \frac{1}{2\pi * \sqrt{(119 * 10^{-6}) * C}} \quad (16)$$

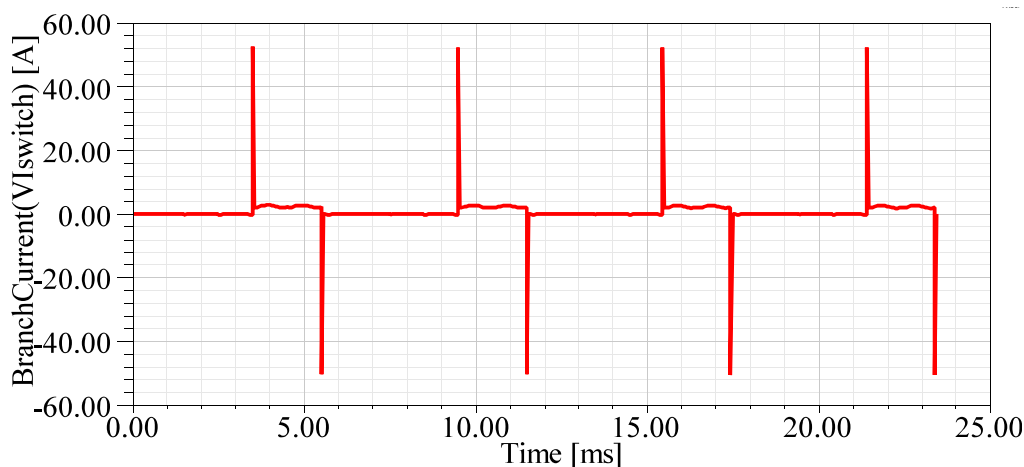
$$C < 76.6264 \mu F \quad (17)$$

وجود خازن سبب می‌شود که جریان ورودی اینورتر دارای جهش باشد. از طرفی کاهش مقدار خازن، امکان کاهش دامنه جهش‌ها از روی شکل موج ولتاژ را کاهش می‌دهد. لذا بایستی مقدار مناسبی برای بانک خازنی انتخاب شود. مقدار خازن‌ها برابر $20 \mu F$ در نظر گرفته شده است.

نتایج شبیه‌سازی برای شکل موج ولتاژ خط به خط موتور در حضور فیلتر LCL و بانک خازنی، جریان نشتی از فاز موتور در حضور فیلتر LCL و بانک خازنی، طیف فرکانسی جریان لینک DC، جریان ورودی اینورتر، جریان سه فاز موتور و جریان کلید قدرت در حضور فیلتر LCL و بانک خازنی به ترتیب در اشکال (۲۱) تا (۲۶) نشان داده شده است. کاهش چشمگیر جهش‌های ولتاژی از شکل

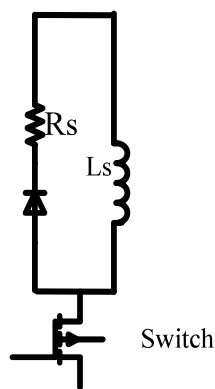


شکل ۲۵: جریان سه فاز موتور در حضور فیلتر LCL و بانک خازنی



شکل ۲۶: جریان کلید در حضور فیلتر LCL و بانک خازنی

شده است. برای طراحی اسنایر از روابط (۱۷-۱۳) استفاده شده است. اندوکتانس اسنایر نایستی بیش از مقدار معینی بزرگ باشد.



شکل ۲۷: نمای کلی اسنایر RLD

دامنه بالای جهش‌های جریان کلید در زمان فرمان آتش به کلید در شکل (۲۶) نشان داده شده است. جهش بالای جریان کلید ممکن است سبب آسیب رساندن به خود کلید شود لذا لازم است کلید در هنگام دریافت فرمان آتش محافظت شود. مدارات اسنایر برای محافظت کلیدها در برابر تغییرات جریان و ولتاژ، معرفی و طراحی شده‌اند.

اسنایر انتخابی از نوع RLD است (شکل (۲۷)). اگر از اسنایر به تنهایی استفاده شود، تاثیر خود را در کاهش جریان نشستی از موتور به زمین نشان می‌دهد ولی در اینجا به دلیل عملکرد غالب فیلتر در کاهش نویز، تاثیر خود را در کاهش جریان نشستی به صورت برجسته نشان نمی‌دهد.

با جای گذاری اسنایر، دامنه‌ی جهش‌های جریان کلید از ۵۲ A به ۱۰/۵ A رسیده است. نمای کلی اسنایر در شکل (۲۷) نشان داده

جدول ۳: مقادیر پیک جریان ناشی در حالات مختلف استراتژی کاهش نویز

مقدار پیک جریان ناشی	استراتژی پیشنهادی
۴۵۰ μA	بدون فیلتر
۸mA	فیلتر LCL
۱۰۰ μA	فیلتر LCL و بانک خازنی
۷۰ μA	فیلتر LCL و بانک خازنی و اسنابر RLD

اندوکتانس بالا، سبب ایجاد تلفات بالا خواهد شد. از طرفی مقدار مقاومت بایستی به گونه‌ای تنظیم شده است که حل محاسبات عددی توسط نرم‌افزار پایدار بماند لذا بایستی ثابت زمانی مدار RL بیشتر از دو برابر دوره نمونه‌برداری یا همان گام زمانی باشد.

شکل موج جریان ناشی از فاز موتور و جریان کلید در حضور فیلتر LCL و بانک خازنی و اسنابر RLD به ترتیب در اشکال (۲۹) و (۳۰) نشان داده شده است. از مقایسه شکل (۲۲) و شکل (۲۸) می‌توان گفت که تاثیر اسنابر بر کاهش سطح جریان ناشی، در خور توجه بوده است. بیشینه مقدار دامنه جریان ناشی از ۱۰۰ μA به ۷۰ μA رسیده است.

مقدار بیشینه جریان ناشی در حالات مختلف در جدول (۳) زیر جهت نمایش بهتر میزان کاهش، بیان شده است.

در نهایت ساختار سیستم موتور- درایو در حضور حضور فیلتر LCL و بانک خازنی و اسنابر RLD به صورت شکل (۳۰) قابل پیاده‌سازی است. هر کلید (SW) با یک اسنابر سری است. بانک خازنی موازی با ترمینال‌های موتور نصب شده است. فیلتر LCL نیز در لینک DC قرار گرفته است.

۵- نتیجه‌گیری

مطالعه نویز الکترومغناطیسی نیازمند مدل سازی فرکانس بالای سیستم مورد بررسی است. در این مقاله با توجه به این که موتور سرعت بالا و کلید قدرت در ایجاد نویز الکترومغناطیسی نقش مهمی دارند، این دو عنصر مورد توجه قرار گرفته‌اند. با استفاده از تحلیل‌های AC Conduction، Eddy Current و Transient مدل فرکانس بالای موتور قابل استخراج است. مدل فرکانس بالای کلید

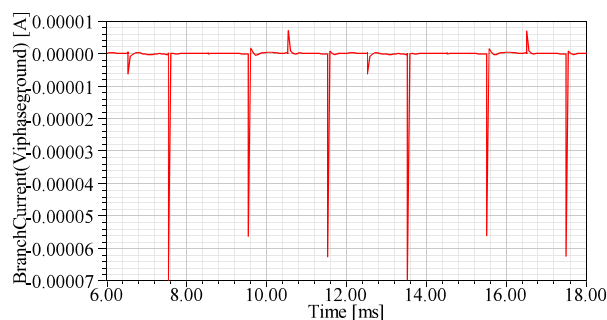
$$L_s < \frac{P_n (= 33w)}{8000 * (2\pi * 166.67) * 2.2^2} = 814nH \quad (18)$$

$$L_s = 100nH \quad (19)$$

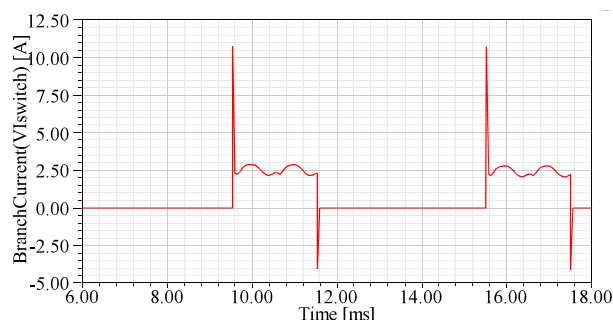
$$\frac{L_s}{R_s} < 2T_s \quad (20)$$

$$R_s > 0.5 * \frac{100 * 10^{-9}}{5 * 10^{-6}} = 0.01ohm \quad (21)$$

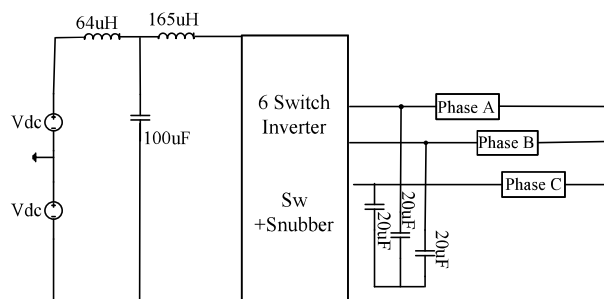
$$R_s = 200mohm \quad (22)$$



شکل ۲۸: جریان ناشی از فاز موتور در حضور فیلتر LCL و بانک خازنی و اسنابر RLD



شکل ۲۹: جریان کلید در حضور فیلتر LCL و بانک خازنی و اسنابر RLD



شکل ۳۰: ساختار موتور درایو در حضور فیلتر LCL و بانک خازنی و اسنابر RLD

- [6] Q. Liu, W. Shen, F. Wang, D. Boroyevich, V. Stefanovic, and Arpilliere, "Experimental evaluation of IGBT's for characterizing and modeling conducted EMI emissions in PWM inverters," *Power Electronic Specialists Conference*, vol. 4, pp. 1951-1956, 2003.
- [7] Q. Liu, F. Wang, and D. Boroyevich, "Model conducted EMI emission of switching modules for converter system EMI characterization," *Industry Applications Conference*, 39th IAS Annual Meeting. Conference Record of the 2004 IEEE, vol. 3, pp. 1817 – 1823, 2004.
- [8] J. E. Makaran and J. L. Vetri, "BLDC Motor and Drive Conducted RFI Simulation for Automotive Applications," *IEEE Transaction on Electromagnetic Compatibility*, vol. 45, no.2, pp. 316-329, 2003.
- [9] G. Grandi and D. Casadei, "Analysis of Common and Differential Mode HF Current Components in PWM Inverter-Fed AC Motors," *29th Annual IEEE Power Electronics Specialists Conference*, PESC 98 Record, pp.1146-1151, 1998.
- [10] H. Zhu, J. S. Lai, Y. Tang, A. Hefner, D. Berning, and C. Chen, "Analysis of conducted EMI emissions from PWM inverter based on empirical models and comparative experiments," *30th Annual IEEE Power Electronics Specialists Conference*, PESC 99, pp. 861-867, 1999.
- [11] S. Ogasawara and H. Akagi, "Modeling and damping of high-frequency leakage currents in PWM inverter-fed ac motor drive systems," *IEEE Transactions on industrial applications*. vol. 32, pp. 1105–1114, 1996.
- [12] O. A. Mohammed, S. Ganu, Z. Liu, and N. Abed "High Frequency Modeling of Permanent Magnet Synchronous Motor Drive," *In Electric Machines & Drives Conference*, vol. 1, pp. 318-321, 2007.
- [13] O. A. Mohammed and S. Ganu. "FE-circuit coupled model of electric machines for simulation and evaluation of EMI issues in motor drives," *IEEE Transactions on Magnetics*, vol. 46, no. 8, pp. 3389-3392, 2010.
- [14] M. Degano, P. Zanchetta, L. Empringham, E. Lavopa, and J. Clare, "HF induction motor modeling using automated experimental impedance measurement matching," *IEEE Transactions on Industrial Electronics*, vol. 59, no. 10, pp. 3789-3796, 2012.
- [15] F. Luo, S. Wang, F. Wang, D. Boroyevich, N. Gazel, Y. Kang, and A. C. Baisden, "Analysis of CM volt-second influence on CM inductor saturation and design for input EMI filters in three-phase DC-fed motor drive systems," *IEEE Transactions on Power Electronics*, vol. 25, no. 7, pp. 1905-1914, 2010.
- [16] D. Piazza, M. Carmela, A. Ragusa, and G. Vitale, "Effects of common-mode active filtering in induction motor drives for electric vehicles," *IEEE Transactions on Vehicular Technology*, vol. 59, no. 6, pp. 2664-2673, 2010.

نیز به کمک مدل ساده فرکانس بالا و داده‌های برگه‌ی اطلاعات کلید قدرت انتخابی قابلیت پیاده‌سازی دارد.

در این مقاله، فرآیند روش پیشنهادی جهت غلبه بر نویز الکترومغناطیسی، براساس مدل فرکانس بالای سیستم موتور- درایو سرعت بالا با استفاده از بسته‌ی نرم‌افزاری MAXWELL و مفاهیم نویز الکترومغناطیسی، پی‌ریزی شده و ساختار و مقادیر فیلتر پسیو پیشنهادی استخراج شده است. در واقع به صورت گام به گام نوع و مقدار عناصر پسیو و محل جای‌گیری آن‌ها مورد بررسی قرار گرفته است. در هر گام، طیف فرکانسی جریان کشیده شده از منبع DC و جریان نشتی از موتور به زمین، معیار ارزیابی تاثیرگذاری تدابیر اندیشیده شده در کاهش نویز بوده است. با توجه به این دو مولفه، نوع عناصر، محل جای‌گذاری و مقادیر عناصر پسیو انتخاب شده، در هر مرحله تعیین می‌شوند. ساختار فیلتر پسیو به دست آمده مطابق با نتایج به دست آمده، توانایی مناسبی در کاهش نویز الکترومغناطیسی دارد. به طور خلاصه می‌توان گفت:

- فیلتر LCL و بانک خازنی، نویز هدایتی و جریان نشتی را به طور مناسب کنترل کرده است.
- اسنابر RLD به خوبی از کلید قدرت محافظت می‌کند.

۵- مراجع

- [1] G. L. Skibinski, R. J. Kerkman, and D. W. Schlegel, "EMI emissions of modern PWM ac drives," *IEEE Industry Applications Magazine*, vol. 5, no. 6, pp. 47–81, 1999.
- [2] J. S. Lai, X. Huang, P. Elton, S. Chen, and T. W. Nehl, "Inverter EMI modeling and simulation methodologies," *IEEE Transactions on Industrial Electronics*, vol. 53, no. 3, pp. 734-744, 2006.
- [3] J. S. Lai, X. Huang, S. Chen, and T. W. Nehl, "EMI characterization and simulation with parasitic models for a low-voltage high current ac motor drive," *IEEE Transactions on Industry Applications*, vol. 40, no.1, pp. 178-185, 2004.
- [4] L. Ran, S. Gkani, et al, "Conducted electromagnetic emission in induction motor drive systems Part I: Time domain analysis and identification of dominant modes," *IEEE Transactions on Power Electronics*, vol. 13, no.4, pp. 757-767, 1998.
- [5] E. Zhong, T. A. Lipo, "Improvements in EMC performance of inverter fed motor drives," *IEEE Transactions on Industrial Applications*, vol. 31, no.6, pp. 1247-1256, 1995.

- [25] A. Carrubba, M. C. DiPiazza, G. Tine, and G. Vitale, "Evaluation of Common Mode Disturbance Mitigation Devices in AC Motor Drives through HF Modeling," *IEEE International Symposium on Industrial Electron*, pp. 2315-2320, 2006.
- [26] Y. Y. Mailliet, R. Lai, S. Wang, F. Wang, R. Burgos, and D. Boroyevich, "High-density EMI filter design for DC-fed motor drives," *IEEE Transactions on Power Electron*, vol. 25, no. 5, pp.1163 -1172, 2010.
- [27] D. Piazza, M. Carmela, M. Luna, and G. Vitale, "EMI Reduction in DC-Fed Electric Drives by Active Common-Mode Compensator," *IEEE Transactions on Electromagnetic Compatibility*, pp.1-10, 2014.
- [28] X. Gong and J. A. Ferreira, "Comparison and Reduction of Conducted EMI in SiC JFET and Si IGBT Based Motor Drives," *IEEE Transactions on Power Electronics*, pp. 1757 – 1767, 2013.
- [29] O. A. Mohammed, S. Ganu, S. Liu, Z. Liu, and N. Abed, "Study of High Frequency Model of Permanent Magnet Motor," *In International Conference on Electric Machines and Drives*, 2005 IEEE, pp. 622-627, 2005.
- [30] T. Rahimi, "Design of low noise high speed brushless DC motor drive", Master Thesis, Dept. of Electrical and Avionic Eng., Malek-e-Ashtar University of Technology, Iran, 2013.
- [31] A. Carrubba, M. C. DiPiazza, G. Tine, and G. Vitale, " Evaluation of Common Mode Disturbance Mitigation Devices in AC Motor Drives through HF Modeling," *IEEE International Symposium on Industrial Electronics*, pp. 2315-2320, 2006.
- [17] F. Wang, "Motor shaft voltages and bearing currents and their reduction in multilevel medium-voltage PWM voltage-source-inverter drive applications," *IEEE Transactions on industrial applications*. vol. 36, pp. 1336–1341, 2000.
- [18] M. M. Swamy, K. Yamada, and T. Kume, "Common mode current attenuation techniques for use with PWM drives," *IEEE Transactions on Power Electron*, vol. 16, pp. 248–255, 2001.
- [19] T. G. Habetler, R. Naik, and T. A. Nondahl, "Design and implementation of an inverter output LC filter for dv/dt reduction," *IEEE Transactions on Power Electron*, vol. 17, pp. 327–331, 2002.
- [20] H. Akagi, H. Hasegawa, and T. Doumoto, "Design and performance of a passive EMI filter for use with a voltage-source PWM inverter having sinusoidal output voltage and zero common-mode voltage," *IEEE Transactions on Power Electron*, vol. 19, pp. 1069–1076, 2004.
- [21] S. Ogasawara, H. Ayano, and H. Akagi, "An active circuit for cancellation of common-mode voltage generated by a PWM inverter," *IEEE Transactions on Power Electron*, vol. 13, pp. 835–841, 1998.
- [22] S. Wang, "Characterization and Cancellation of High-Frequency Parasitics for EMI Filters and Noise Separators in Power Electronics Applications", Ph.D. dissertation, Dept. of Elect. Eng., Virginia Polytechnic Institute and State University, Blacksburg, VA, 2005.
- [23] Y. M. Yoann, " High-Density Discrete Passive EMI Filter Design for Dc-Fed Motor Drives", Master Thesis, Dept. of Elect. Eng., Virginia Polytechnic Institute and State University, Blacksburg, VA, 2008.
- [24] R. Lai, "Analysis and Design for a High Power Density Three-Phase AC Converter Using SiC Devices", Ph.D. dissertation, Dept. of Elect. Eng., Virginia Polytechnic Institute and State University, Blacksburg, VA 2008.

**Software Based Analysis of Electromagnetic Noise Reduction
of a High-Speed BLDC Motor Drive**

T. Rahimi^{*}, H. Meshgin Kelk, A. Shirzadi

**Malek-e-Ashtar University of Technology.*

(Received: 04/07/2014 , Accepted: 11/01/2015)

Abstract

Due to leakage current injection to the system ground and high frequency components in DC link resulted from High-speed BLDC motors performance, there are interference with the other equipment performance. Hence it is necessary to overcome electromagnetic interference. In this paper, high-frequency model of BLDC motor is extracted using finite element analysis in the MAXWELL software based on some new solutions. The parameters of high frequency simple model of power switch are valuated using the switch datasheet. A method that uses the filtering method and snubber circuits is proposed to reduce the generated noise. We calculate the frequency spectrum of the DC link current and the leakage current from motor to ground network. The proposed method is effectively capable to reduce the amplitude of the leakage current and weaken considerably the high frequency components of DC link current.

Keywords: Leakage current, BLDC, electromagnetic interference, MAXWELL Software, Filtering method

* Corresponding Author Email: rahimitohid@yahoo.com